

## 8 Anhang

### 8.1.1 Photos Methode



Abb. 8.1.1 Stromgenerator



Abb. 8.1.2 24 Well Schale nach der Auswertung

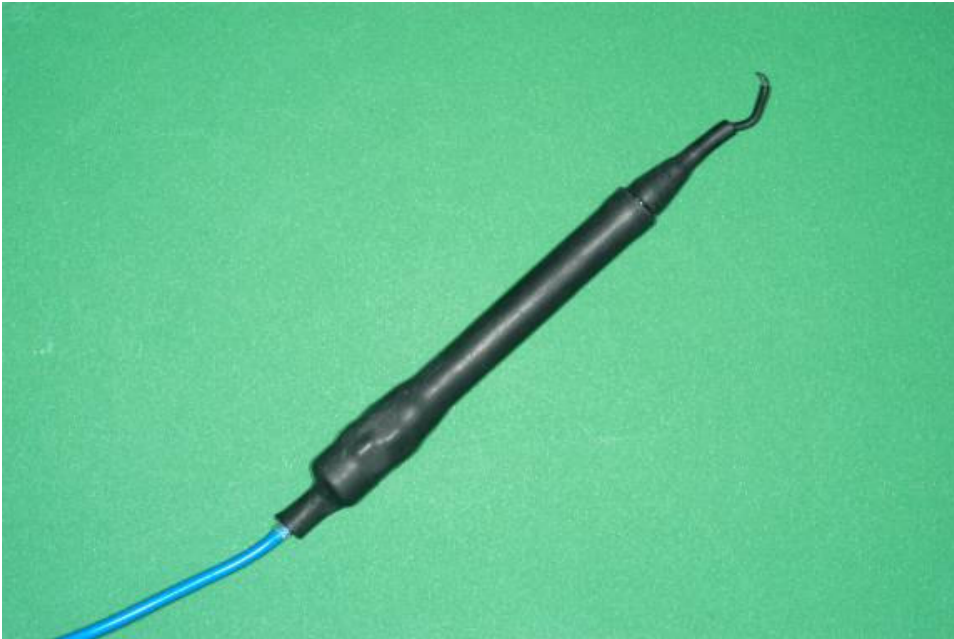


Abb. 8.1.3 Modifizierter Scaler



Abb. 8.1.4 Titanplättchen in der Krokodilklemme



Abb. 8.1.5 24 Well Schale mit Titanplättchen und Nährmedium



Abb. 8.1.6 24 Well Schale mit Titanplättchen und PBS Lösung



Abb. 8.1.7 Probenkörper während der Bekratzung

## 8.2 Photos Biofilm



Abb. 8.2.1 Biofilm (BF) 10fach: normale Wachstumskontrolle

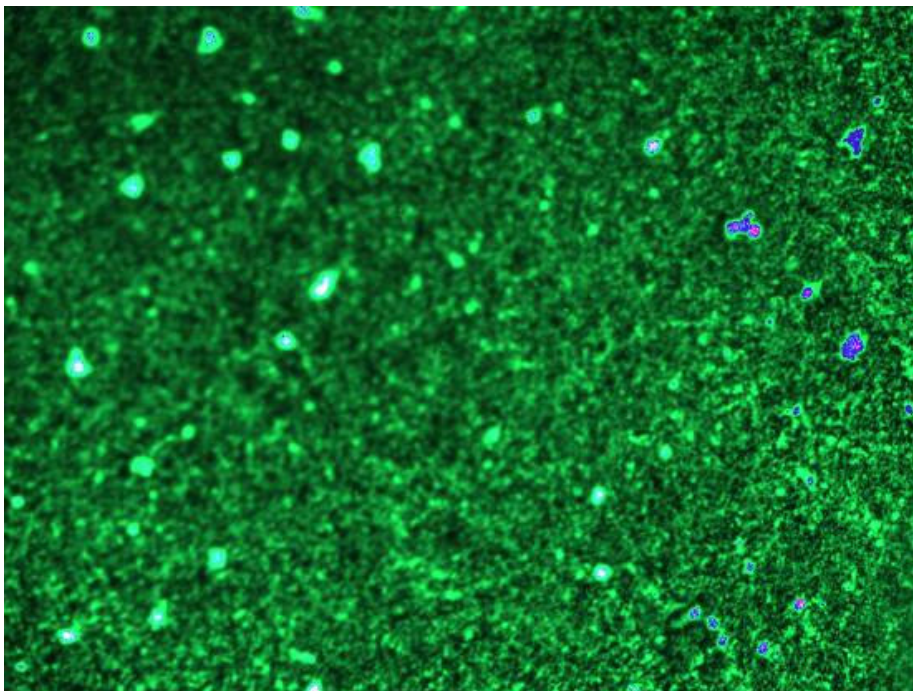


Abb. 8.2.2 BF 10fach: Wachstumskontrolle mit Farbstoffartefakten

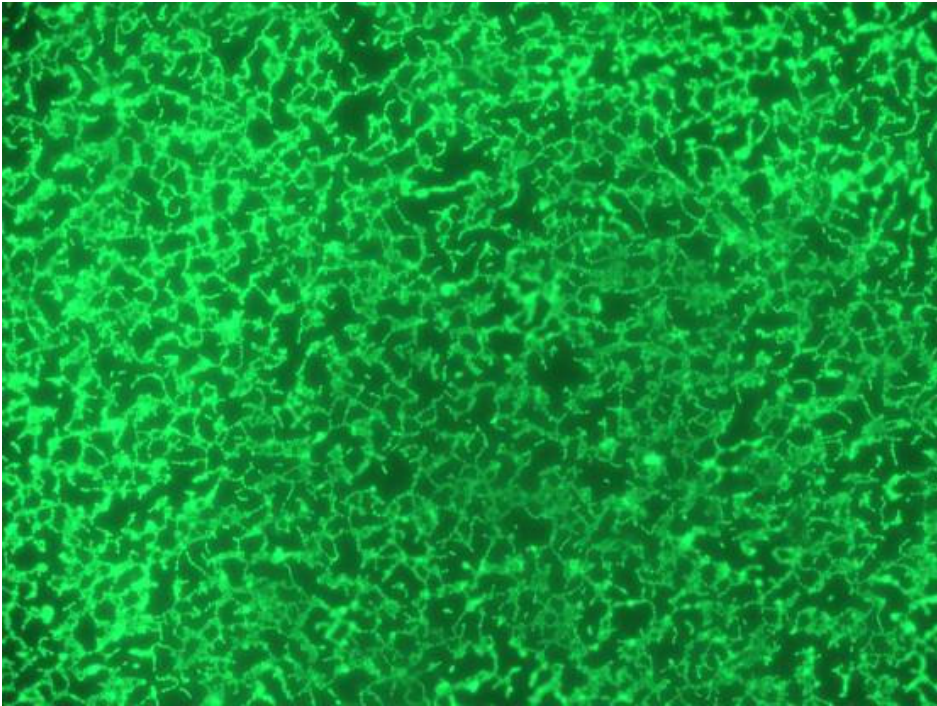


Abb. 8.2.3 BF 40fach: normal Wachstumskontrolle

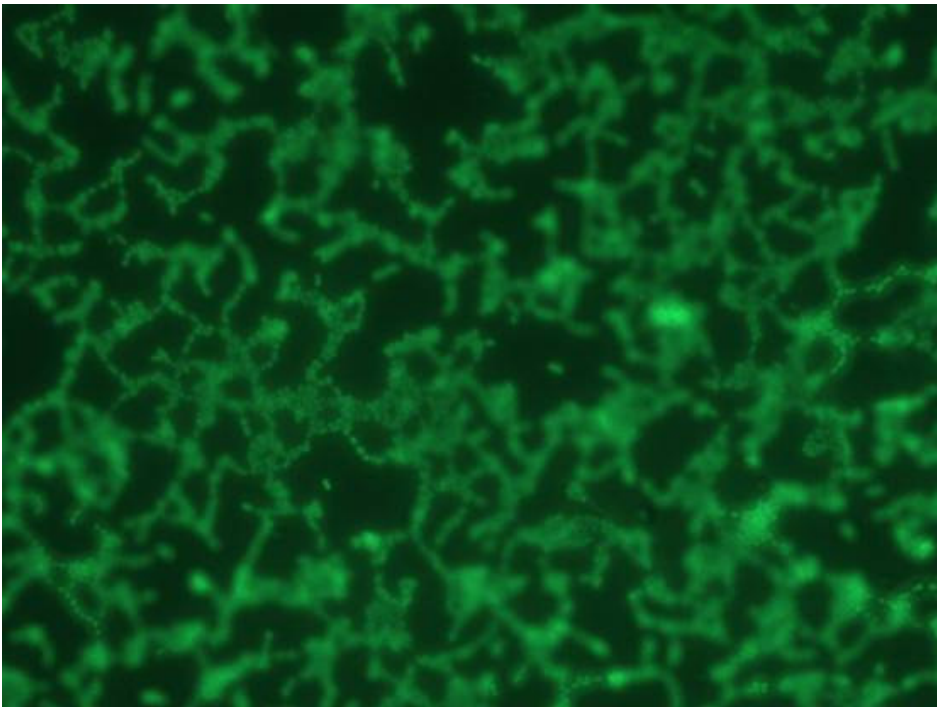


Abb. 8.2.4 BF 100fach: normal Wachstumskontrolle

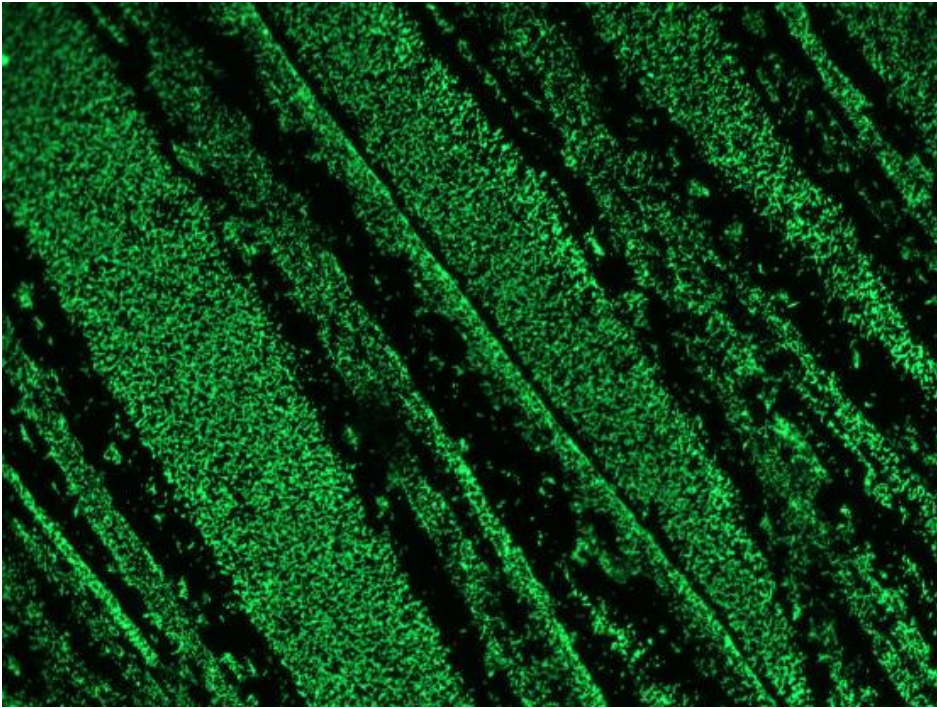


Abb. 8.2.5 BF 10fach: Ausschnitt von Kratzspuren **ohne** E-Feld

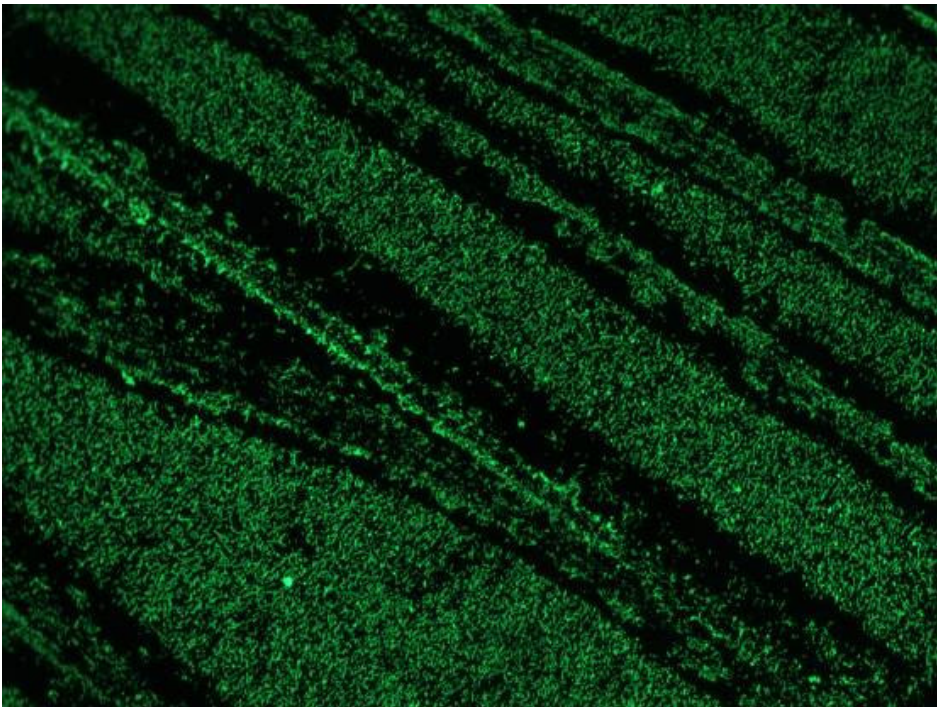


Abb. 8.2.6 BF 10fach: Ausschnitt von Kratzspuren **mit** E-Feld

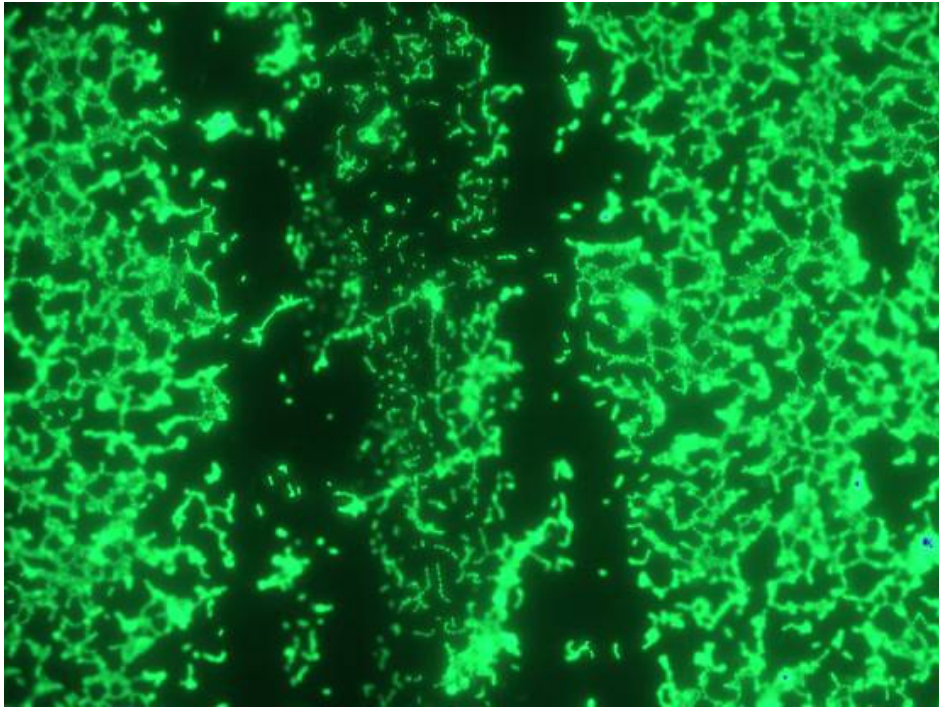


Abb. 8.2.7 BF 40fach: Ausschnitt von Kratzspuren **ohne** E-Feld

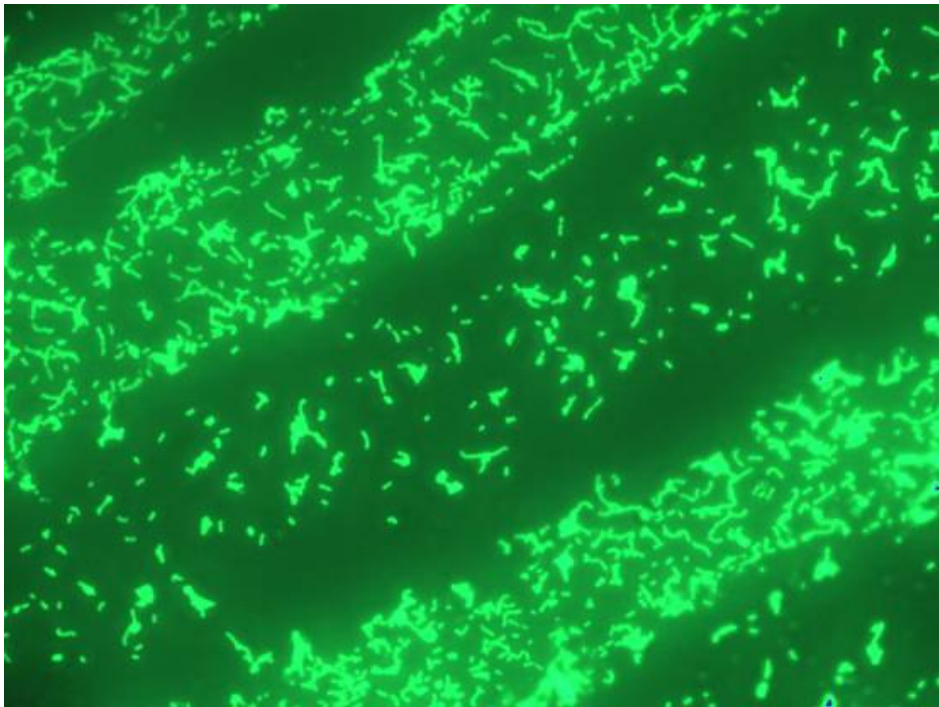


Abb. 8.2.8 BF 40fach: Ausschnitt von Kratzspuren **mit** E-Feld

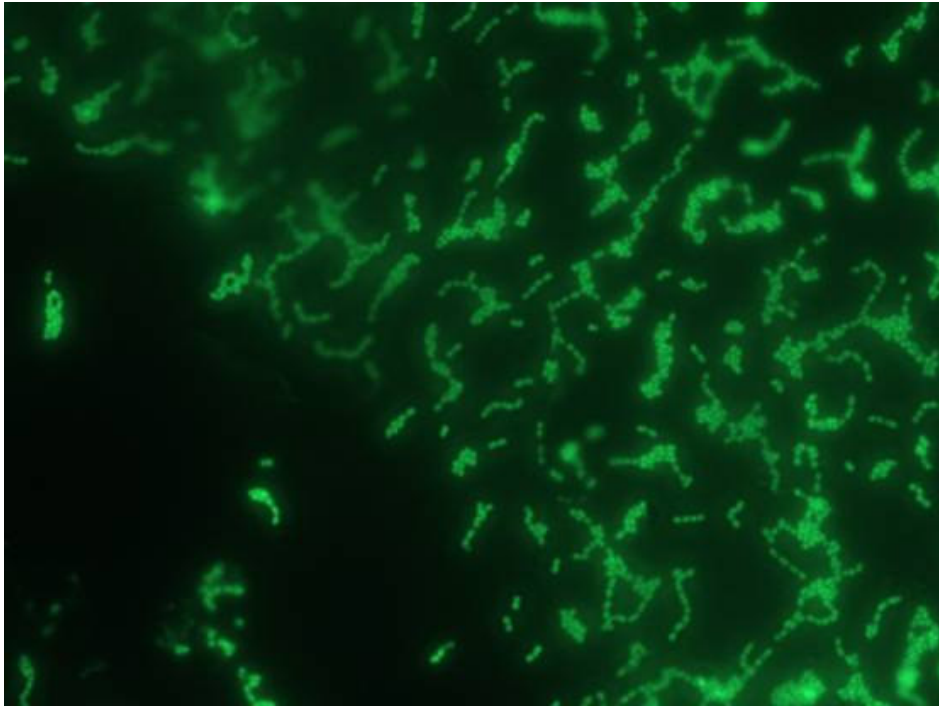


Abb. 8.2.9 BF 100fach: Ausschnitt zwischen zwei Kratzspuren **ohne** E-Feld

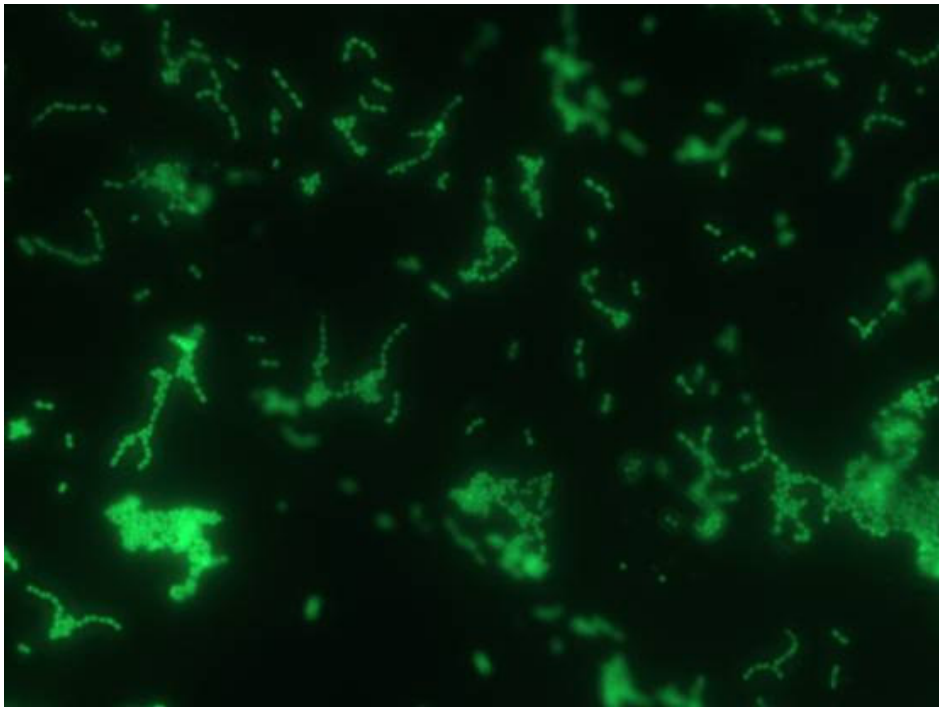


Abb. 8.2.10 Biofilm 100fach: Ausschnitt zwischen zwei Kratzspuren **mit** E-Feld